

## 여러가지 混合 金屬酸化物 触媒上에서의 톨루엔의 氣相 酸化反應

李根大 · 李鎬仁

서울大学校 工科大学 工業化学科

(1983년 2월 20일 접수 ; 1983년 10월 12일 채택)

## Gas Phase Oxidation of Toluene on Various Mixed Metal Oxide Catalysts

Gun-Dae Lee and Ho-In Lee

*Department of Chemical Technology, College of Engineering,*

*Seoul National University, Seoul 151, Korea*

(Received 20 February 1983 ; accepted 12 October 1983)

### 要 約

여러가지 混合 金屬酸化物 触媒上에서 toluene으로부터 benzaldehyde로의 氣相 酸化反應을 研究하였다. 모든 触媒에 있어서  $V_2O_5$ 가 主触媒로 使用되었으며, 또 다른 여러가지 転移金屬 酸化物이 助触媒로 選擇되어졌다. 各 触媒의 物理的 性質과 活性을 調査하였다. 生成物은 氣体크로마토그래피로 分析하였으며 主生成物은 benzaldehyde와  $CO_2$ 이었다.  $V_2O_5 - CuO$ 와  $V_2O_5 - ZnO$ 触媒가 높은 活性을, 반면에  $V_2O_5 - Fe_2O_3$ 와  $V_2O_5 - Cr_2O_3$ 가 比較的 낮은 活性을 지닌 것으로 나타났다. 또한  $V_2O_5 - CuO$ ,  $V_2O_5 - ZnO$ 가 toluene의 部分酸化에 의한 benzaldehyde로의 選擇度를 增加시키는 傾向을 보이는 반면,  $V_2O_5 - Cr_2O_3$ ,  $V_2O_5 - MoO_3$ ,  $V_2O_5 - WO_3$ 等이 toluene의 完全酸化에 의한  $CO_2$ 로의 選擇度를 增加시키는 傾向을 나타내었다.

**Abstract**—Vapour phase oxidation of toluene to benzaldehyde was studied on various mixed metal oxide catalysts. For all catalysts, vanadium pentoxide was used as a main catalyst and some transition metal oxides were selected as co-catalysts. The physical properties and activity of each catalyst have been investigated. The products were analyzed by gas chromatography and the main products were benzaldehyde and carbon dioxide.

It has been found that  $V_2O_5 - CuO$  and  $V_2O_5 - ZnO$  catalysts have high activity whereas  $V_2O_5 - Fe_2O_3$  and  $V_2O_5 - Cr_2O_3$  relatively low one. It is also observed that  $V_2O_5 - CuO$  and  $V_2O_5 - ZnO$  show a trend to enhance the selectivity of benzaldehyde due to prevailing partial oxidation, whereas  $V_2O_5 - Cr_2O_3$ ,  $V_2O_5 - MoO_3$  and  $V_2O_5 - WO_3$  show a trend to enhance that of carbon dioxide, which suggests that complete oxidation of toluene occurs mainly on these catalysts.

## 1. 序 論

Toluene으로부터 転換될 수 있는 物質中의 하나인 benzaldehyde는 오늘날 工業的으로 重要한 物質이며 이것은 toluene뿐만 아니라 다른 여러 物質들로부터 여러가지 方法을 통하여 얻어질 수도 있다[1]. 그러나 이러한 여러가지 方法中에서도 toluene의 直接酸化에 의해서 benzaldehyde를 얻는 方法에 있어서는 空氣를 酸化剤로 利用할 수 있고 또 比較的 좋은 純度의 生成物을 얻을 수 있다는 長點을 지니고 있으므로 이러한 直接酸化法이 가장 適切하다고 할 수 있다.

이와 같은 酸化反應에는 効率의in触媒가 많이 使用되고 있으며 주로 混合 金属酸化物触媒가 많이選擇되고 있다.

toluene의 氣相酸化触媒反応에 대한 研究는 오래 전부터 始作되어 오늘날에도 世界 各国에서 여러 種類의 研究가 進行되어 왔으며[2-7] 最近에는 많은 特許로도 發表되어 있다[8-10]. 이러한触媒反応의 研究에 있어서, Parks와 Yula[4]는 toluene의 酸化反応에서 Mo, W, Zr 金属酸化物이 benzaldehyde의 生成에 有利한触媒라 하였고 Huitema와 Brown[2]은 이러한反応에서 Sn, Bi等의 金属 vanadate가 注目할 만한活性을 가지고 있다고 하였다. 그리고 Mamoru[11-12]는  $\text{MoO}_3 - \text{P}_2\text{O}_5$ 触媒上의 toluene의 酸化反応에서  $\text{MoO}_3 - \text{P}_2\text{O}_5$ 에  $\text{Bi}_2\text{O}_3$ 가 添加되면触媒의活性이增加한다고 하였다. 또 Bhattacharyya와 Sharma[13]에 의하면  $\text{V}_2\text{O}_5$ 에 適切한 몰比率로  $\text{Bi}_2\text{O}_3$ 가 添加되면触媒의活性이增加하게 되고 다시  $\text{V}_2\text{O}_5 - \text{Bi}_2\text{O}_3$ 混合触媒에  $\text{Ag}_2\text{O}$ ,  $\text{WO}_3$ ,  $\text{MoO}_3$ ,  $\text{ZnO}$ ,  $\text{NiO}$ ,  $\text{ZrO}_2$ ,  $\text{CuO}$ ,  $\text{TiO}_2$ 等이 小量으로添加더라도触媒의活性이變한다고하였다. 즉  $\text{TiO}_2$ ,  $\text{CuO}$ 添加의境遇는活性이增加를나마지 金属酸化物의添加의境遇는活性의減少를일으킨다고 發表하였다. 그리고 이들은[14]  $\text{V}_2\text{O}_5 - \text{Bi}_2\text{O}_3$ 触媒에 있어서,  $\text{Bi}_2\text{O}_3$ 는 反応物의酸化에 의해  $\text{V}^{+5} \rightarrow \text{V}^{+4}$ 로還元된  $\text{V}^{+4}$ 를 다시 酸化시키는役割을한다고 主張하였다. 또 Hedvall[15]은混合 金属酸化物에서의活性의增加는結晶格子內의構造變化에 의한 것이라하였다.

本研究에서는混合 金属酸化物触媒上에서의 氣相酸化反応을 통하여 toluene으로부터 benzaldehy-

yde를 얻는過程, 특히触媒活性에 미치는助触媒의役割에 대한研究에重点을 두었다.

## 2. 実 驗

### 2-1. 触媒의 選擇

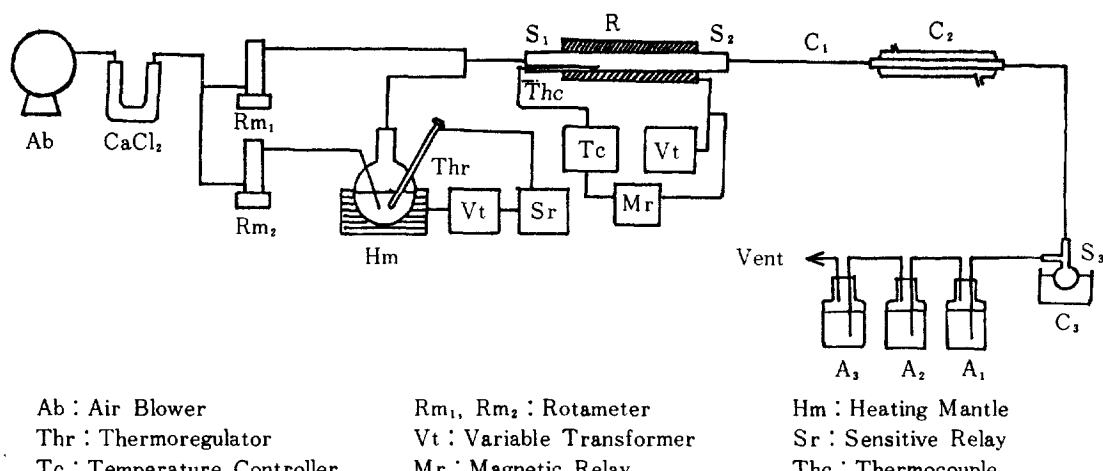
toluene의 氣相酸化触媒反応으로부터 benzaldehyde를 主生成物로 만드는 金属酸化物触媒中에서一般的으로活性이 뛰어난 것으로 알려진  $\text{V}_2\text{O}_5$ 를 主触媒로 하고, 転移金属中에서週期律表上의 4週期 VI B~II B族 金属과 5~6週期 VI-B族 金属을 Fig. 1과 같이擇하여 그酸化物을助触媒로 한混合 金属酸化物을触媒로使用하였다. 여기서触媒로使用한 金属들은經濟的인面等 여러가지实用的인面에서有利한 金属이며, 또 이러한規則的인触媒의選擇은 金属의週期律表上의位置와 그 金属의触媒로서의役割과의相互關聯性을 찾기 위한것이었다.

V-B	VI-B	VII-B	VIII-B	I-B	II-B		
V	Cr	Mn	Fe	Co	Ni	Cu	Zn
	Mo						
	W						

Fig. 1. Transition metals of which oxides are used as catalysts.

### 2-2. 触媒의 製造

主触媒와助触媒의 몰比率은予備実驗을 통하여效果的인 것으로 나타난 7:3으로하였다. 이러한 金属酸化物触媒의製造에 있어서各各의 金属酸化物을製造하기 위한出發物質로서는 다음과같이擇하였다.  $\text{V}_2\text{O}_5$ 는  $\text{NH}_4\text{VO}_3$ ,  $\text{MoO}_3$ 는  $(\text{NH}_4)_2\text{MoO}_4$ ,  $\text{WO}_3$ 는  $\text{H}_2\text{WO}_4$ , 그의 金属(Cr, Mn, Fe, Co, Ni, Cu, Zn)의酸化物은各該當金属의室酸塩을出發物質로하였다. 이렇게選擇한出發物質들은主触媒와助触媒로使用되는 金属의出發物質들이共通의으로녹을수있는適當한溶媒( $\text{NH}_4\text{VO}_3$ 와 Cr, Mn, Fe, Co, Ni, Cu, Zn, Mo의塩을混合할境遇는蒸溜水,  $\text{NH}_4\text{VO}_3$ 와  $\text{H}_2\text{WO}_4$ 의境遇는 15N  $\text{NH}_4\text{OH}$ )를擇하여두 가지를한꺼번에녹여溶液을만든後,溶媒를蒸發시키고(100°C)다시乾燥器에서溶媒를



Ab : Air Blower

Thr : Thermoregulator

Tc : Temperature Controller

R : Reactor

C₁ : Air Condenser

A₁, A₂, A₃ : Bubbler

Rm₁, Rm₂ : Rotameter

Vt : Variable Transformer

Mr : Magnetic Relay

S₁, S₂ : Gas Sampling Plug

C₂ : Cold Water Condenser

Hm : Heating Mantle

Sr : Sensitive Relay

Thc : Thermocouple

S₃ : Liquid Sampling Flask

C₃ : Ice-Cooled Condenser

Fig. 2. Schematic diagram of the experimental apparatus.

完全히除去시킨 다음( $150^{\circ}\text{C}$ , 2時間)電氣爐에 넣어熟天稱을利用하여決定한燒成溫度( $500^{\circ}\text{C}$ )에서4時間동안燒成시켜製造하였다.以上과 같은方法으로製造한 10가지触媒의物理的性質은 Table 1과 같다. 이 때触媒의表面積測定에는 BET裝置( $77\text{K}$ 에서窒素利用)를利用하였다.

### 2-3 実験装置 및 方法

本実験에서使用한実験装置의大略的인構成은 Fig. 2에 図示한 바와 같다.

触媒는微細한紛末로粉碎한後, Table 1의密度를利用하여부피가4cc되게끔무게를秤量하여Pyrex로된反應器内部에充填시켰으며,反應時間은30分으로하였고氣体採取時에는gas syringe(Terumo Micro Syringe MS-GAN100, 1.0ml容量)를使用하여0.6cc씩採取하였다. 또反應을始作하기前에触媒内에存在하는水分等不純物을除去하기위해反應溫度에서,反應器에充填된触媒層에乾燥한空氣를2時間以上通過시켰으며,触媒活性의程度를安定化시키기위해서는生成物을

Table 1. Physical properties of various catalysts.

catalyst	composition (mole ratio)	color	density (g/cc)	specific surface area (m <sup>2</sup> /g)
1	$\text{V}_2\text{O}_5$	orange yellow	0.74	2.64
2	$\text{V}_2\text{O}_5 + \text{Cr}_2\text{O}_3$	(7 : 3)	0.63	1.22
3	$\text{V}_2\text{O}_5 + \text{MnO}_2$	(7 : 3)	0.61	1.67
4	$\text{V}_2\text{O}_5 + \text{Fe}_2\text{O}_3$	(7 : 3)	0.83	1.39
5	$\text{V}_2\text{O}_5 + \text{CoO}$	(7 : 3)	0.83	5.51
6	$\text{V}_2\text{O}_5 + \text{NiO}$	(7 : 3)	0.59	3.38
7	$\text{V}_2\text{O}_5 + \text{CuO}$	(7 : 3)	0.57	0.86
8	$\text{V}_2\text{O}_5 + \text{ZnO}$	(7 : 3)	0.45	2.39
9	$\text{V}_2\text{O}_5 + \text{MoO}_3$	(7 : 3)	0.92	1.12
10	$\text{V}_2\text{O}_5 + \text{WO}_3$	(7 : 3)	1.17	0.75

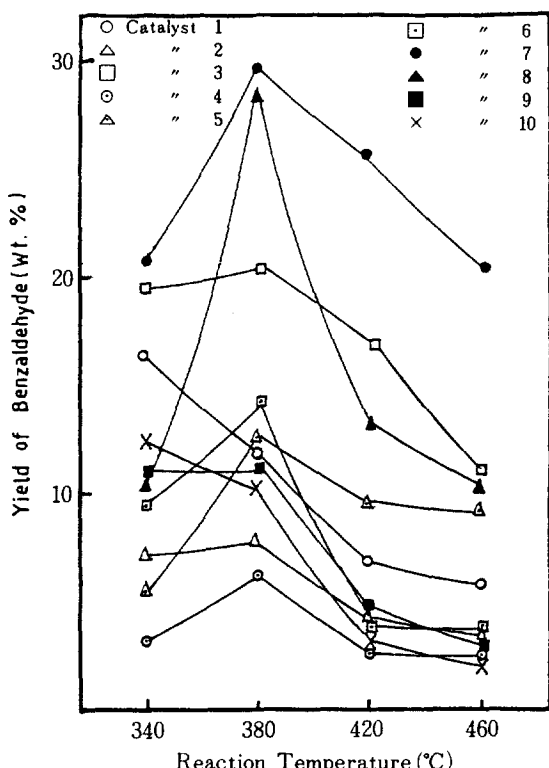


Fig. 3. Effect of reaction temperature on the yield of benzaldehyde at the various catalysts [space velocity : 2400, air/toluene ratio : 26].

分析하기 前에 4 時間以上 反応温度에서 空氣와 toluene의 混合物을 触媒層에 通過시켰다.

#### 2-4. 生成物의 分析

氣体成分의 分析에는 gas chromatography를 利用하였으며 이 때 充填物質로는 GE-SE 30 ( $\phi 3\text{mm} \times 2\text{m}$ ) 과 activated charcoal ( $\phi 3\text{mm} \times 2\text{m}$ ) を 使用하였다. 前者は 主生成物인 benzaldehyde 와 微量의 生成物인 benzoic acid의 定性 및 定量分析에, 後者는 多量으로 生成되는  $\text{CO}_2$ 의 分析에 使用하였다. 이때 使用한 detector로는 前者の 境遇은 FID를, 後者 的 境遇은 TCD를 使用하였다.

### 3. 實驗結果 및 考察

#### 3-1. 反応温度의 影響

##### 3-1-1. 反応温度가 benzaldehyde의 収率에 미치는 影響

空氣 / toluene 몰比率 26, 反応物 流入速度 2400

$\ell/\text{hr} \cdot \ell\text{-cat}$ 에서 反応温度 变化에 따른 benzaldehyde의 収率은 다음과 같이 計算하였다.

$$\text{benzaldehyde로 轉換된 benzaldehyde의 收率 (\%)} = \frac{\text{toluene의 mole 수}}{\text{通過된 toluene의 mole 수}} \times 100$$

340~460°C의 温度範圍에서 触媒 1 과 10은 340°C, 나머지 触媒들은 380°C에서 最高收率을 나타내었으며 이중에서도 特히 触媒 5, 6, 7, 8 等의 境遇, 380°C에서 顯著한 最高값을 나타내었다. 이와같이 最大点을 보이는 現象은, 反応温度가 一定한 水準을 넘어서면서 温度上昇의 效果에 의해 酸化力이 比較的 큰 触媒上에서는 酸化反応이 더욱 促進되어 benzaldehyde의 生成보다는 오히려 그 다음 段階의 酸化物인 benzoic acid의 生成이 增加하거나, 벤젠고리가 破壊되는 完全 酸化反応으로의 傾向이 커져서  $\text{CO}_2$ 의 生成이 增加하기 때문이다.

3-1-2. 反応温度가 轉換率에 미치는 影響  
앞의 3-1-1과 같은 實驗條件下에서 나타난

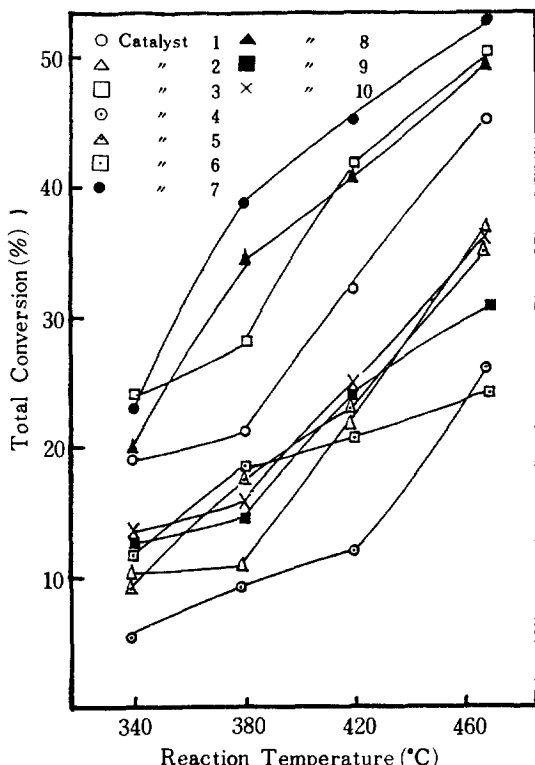


Fig. 4. Effect of reaction temperature on the total conversion at the various catalysts [space velocity : 2400, air/toluene ratio : 26].

転換率에 대한結果는 Fig. 4와 같다. 転換率은 다음과 같이計算하였다.

$$\text{転換率} (\%) = \frac{\text{生成物로 転換된 toluene의 mole 수}}{\text{通過된 toluene의 mole 수}} \times 100$$

各触媒에 따라 程度의 差異는 있지만 모든触媒가 反應溫度의 上昇에 따라 転換率이 增加하는 傾向을 보았다. 그리고 benzaldehyde의 收率이 높은触媒들의 転換率이 역시 높은 것으로 나타났다. 또 benzaldehyde의 生成收率이 큰 380°C에서触媒5,6,7,8의 境遇는 benzaldehyde의 높은 生成收率과 더불어 温度의 上昇에 따른 benzoic acid나 CO<sub>2</sub>의 生成의 增加로 인하여 위로 볼록한 曲線을 주는 반면에, 나머지触媒의 境遇는 380°C에서 benzaldehyde의 낮은 生成收率과 温度上昇에 따른 對等한 程度의 높은 benzoic acid나 CO<sub>2</sub>로의 酸化로 인하여 全体的인 曲線은 오목한 모양을 나타낸다.

### 3 - 1 - 3. 反應溫度가 benzaldehyde의 選擇度에 미치는 影響

benzaldehyde의 選擇度에 대한結果는 Fig. 5와 같다. 選擇度는 아래와 같이 計算하였다.

$$\text{benzaldehyde로 転換된 benzaldehyde의 選擇度} (\%) = \frac{\text{toluene의 mole 수}}{\text{全體 生成物로 転換된 toluene의 mole 수}} \times 100$$

Fig. 5에서 보면 모든触媒가 340~380°C에서 높은選擇度를 나타내었고 또 380~420°C에서 選擇度가 急激한 減少를 보이는 것은, 이 温度範圍에서 温度의 上昇에 따라 모든触媒에 대한 CO<sub>2</sub>의 生成이 急激한 增加를 보여 生成物中的 CO<sub>2</sub>의 비중이 크게 되는 반면 benzaldehyde의 生成은 温度의 上昇에 따라 오히려 減少하는 現象을 나타내기 때문이다.

以上의 温度變比에 따른結果들로부터 benzaldehyde의 收率과 選擇度의 面에서 보면 反應溫度는 380°C前後가 가장 適當한 것으로 나타났다. 즉 380°C보다 낮은 温度에서는 이러한 酸化反應이 잘 일어나지 못하므로 未反應物이 많아 転換率과 benzaldehyde의 收率이 낮아지게 된다. 반면에 反應溫度가 380°C보다 높게 되면 反應溫度의 上昇에 의한 제2의 酸化反應促進으로 인해 benzoic acid나 CO<sub>2</sub>의 生成이 크게 增加하여 転換率은 增加하지만 benzaldehyde의 選擇度는 오히려 減少하게 된다.

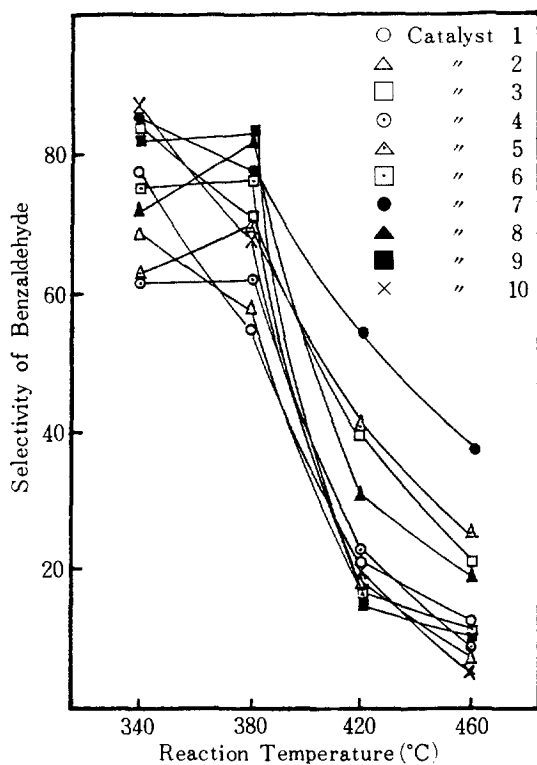


Fig. 5. Effect of reaction temperature on the selectivity of benzaldehyde at the various catalysts [space velocity: 2400, air/toluene ratio : 26].

### 3 - 2. 空氣/toluene 몰比率의 影響

#### 3 - 2 - 1. 空氣/toluene 몰比率이 benzaldehyde의 收率에 미치는 影響

反應溫度의 380°C, 反應物流入速度 2400ℓ/hr ℓ-cat에서 空氣/toluene 몰比率変比에 따른各触媒上에서의 benzaldehyde收率에 대한結果는 Fig. 6과 같다. 모든触媒가 몰比率 26에서 最高값을 나타내었으며触媒7,8等이 몰比率変比에 敏感한 것으로 나타났다. 以上과 같은現象은 이러한酸化反應에서 適正 몰比率以下에서는酸化過程에必要한酸素가不足한狀態이므로 이適正 몰比率에 이를 때까지는酸素供給의增加로 인해 benzaldehyde의 生成이 늘어나지만 이適正 몰比率以上에서는反應物中の높은比率를 차지하는空氣로 인해 오히려 toluene과触媒와의 接触時間이 減少하므로 benzaldehyde의 收率이 減少하게 된다.

#### 3 - 2 - 2. 空氣/toluene 몰比率이 転換率에 미

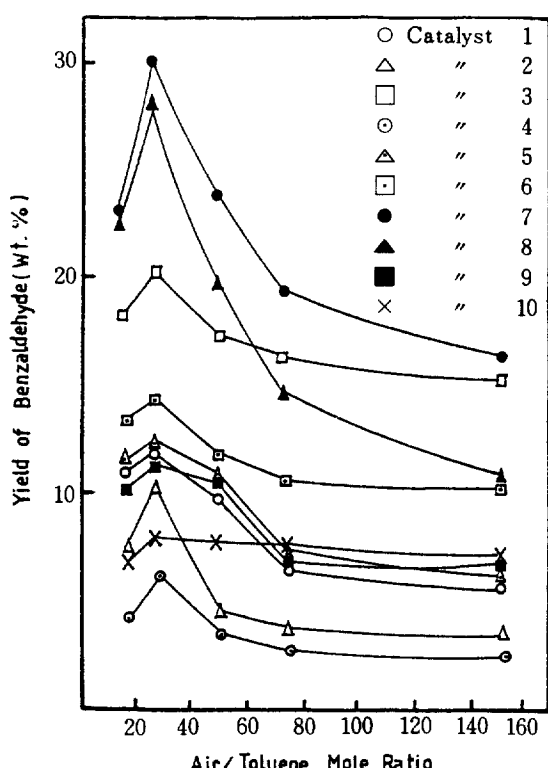


Fig. 6. Effect of air/toluene ratio on the yield of benzaldehyde at the various catalysts [temperature: 380°C, space velocity: 2400 (l/hr·l-cat)].

### 치는 影響

3-2-1. 과 같은 実驗條件下에서 空氣/toluene 몰比率의 变比에 따른 各触媒上의 轉換率은 Fig. 7 과 같다. 즉, 모든触媒는 몰比率 26에서 最高의 轉換率을 나타내며 계속적인 몰比率의增加에 따라 오히려 轉換率이 減少하는 現象을 보였다. 이 것으로부터 反應物中 過剩의 空氣는 3-2-1에서처럼 toluene과触媒와의 接触時間은 減少시키므로 toluene의 反應을 滞害시킨다는 것을 알 수 있다.

### 3-2-3. 空氣/toluene 몰比率의 benzaldehyde의 選擇度에 미치는 影響

Fig. 8에 空氣/toluene 몰比率의 benzaldehyde의 選擇度에 미치는 影響이 나타나 있다. 여기서는 全體的인 뚜렷한 傾向은 볼수 없으나 모든触媒가 몰比率 18~48에서, 그 중에서도 몰比率 26에서 많은触媒가 最高값을 나타내고 있다. 이러한現象은 몰

比率 18~48에서 各触媒에 따라 몰比率变比에 의해 benzaldehyde의 收率과 轉換率이 变比하는 程度가 각각 다르기 때문이다. 여기서도 比較的 낮은 空氣/toluene 몰比率이 benzaldehyde의 生成에 有利하다는 것을 알 수 있다.

以上의 結果들로부터 空氣/toluene 몰比率에 있어서, 適正 몰比率以下에서는 酸化反應에 必要한 酸素의 不足으로 인해, 또 適正 몰比率以上에서는 過剩의 空氣에 의한 toluene과触媒와의 接触時間의 減少로 인해 benzaldehyde의 收率과 轉換率이 각各 減少한다는 것을 알 수 있다. 그러므로 空氣/toluene 몰比率은 26前後가 가장 適當한 것으로 생각된다.

### 3-3. 反應物 流入速度의 影響

#### 3-3-1. 反應物 流入速度가 benzaldehyde收率에 미치는 影響

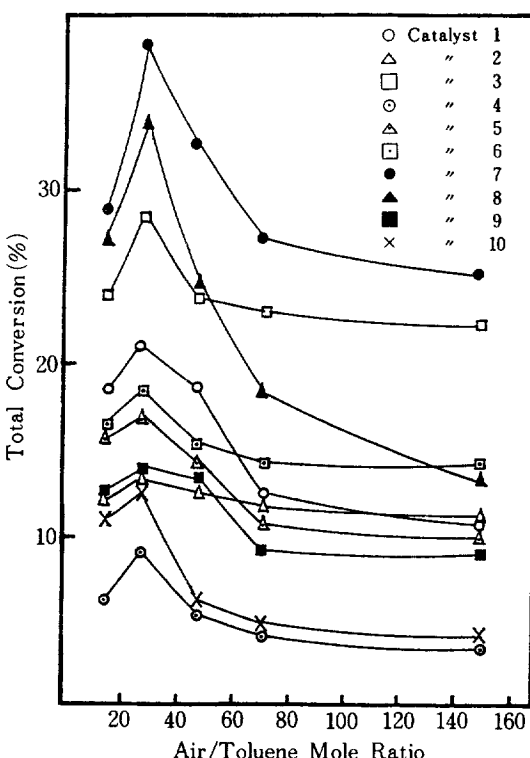


Fig. 7. Effect of air/toluene ratio on the total conversion at the various catalysts [temperature: 380°C, space velocity: 2400 (l/hr·l-cat)].

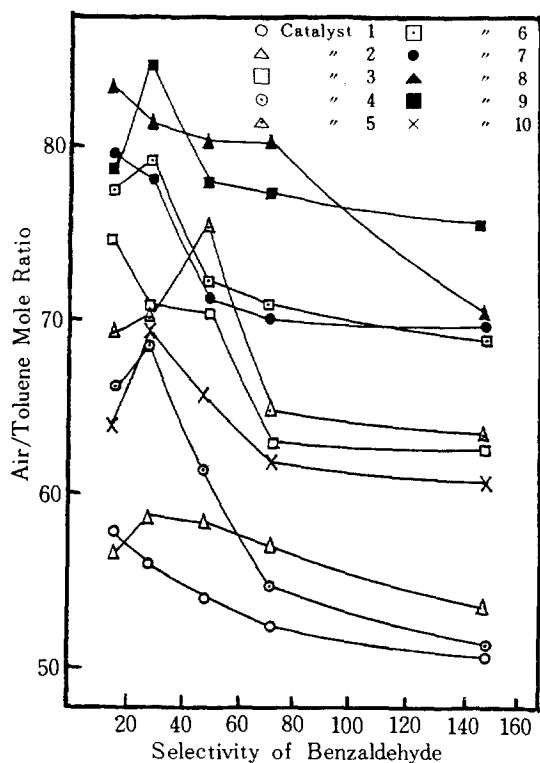


Fig. 8. Effect of air/toluene ratio on the selectivity of benzaldehyde at the various catalysts [temperature: 380°C, space velocity: 2400 (l/hr·l-cat)]

反應溫度 380°C, 空氣/toluene 몰比率 48에서 反應物 流入速度를 1200~3600 l /hr·l - cat範圍에서 变化시켜 各触媒에 대한 benzaldehyde의 收率을 測定한 結果는 Fig. 9와 같다. 몰比率을, benzaldehyde收率을 最高로 주는 26으로 하지 않고 48로 擇한 것은 낮은 몰比率(26以下)의 境遇, 反應物 流入速度가 낮아짐에 따라 反應器를 通過하는 氣體 反應物의 量이 적어触媒層에 의한 pressure drop으로 인해 流入速度의 fluctuation이 일어나므로 比較的 安定한範圍의 몰比率인 48을 擇한 것이다. 이러한 몰比擇選擇으로 인해 몰比率 26의 境遇와 比較해 보면, 各触媒上의 benzaldehyde收率의 絶對값에는 差異가 있었으나 全體의 傾向을 보는데는 큰 差異가 없었다. Fig. 9에서 보면触媒 2, 3, 4, 5, 10의 境遇는 1800 l /hr·l - cat에서 最高값을 나타냈으나, 나머지触媒의 境遇는 反應物 流入速度가 1800에서

1200 l /hr·l - cat로 減少함에 따라서도 benzaldehyde의 收率이 계속적으로 늘어나는 것을 볼 수 있었다. 이러한 現象은, 反應物이 触媒表面으로 蒸散速度에 비하여 benzaldehyde를 生成하는 表面反應速度가 相對的으로 느리기 때문에 反應物과触媒와의 接触時間이 길어짐에 따라 酸化反應이 많이 일어나므로 benzaldehyde의 收率이 增加한 것이다. 但し触媒 2, 3, 4, 5, 10의 境遇에는 蒸散速度에 비하여 酸化反應速度가 빨라 接触時間이 길어짐에 따라 이미 生成된 benzaldehyde가 다시 酸化反應을 거쳐 CO<sub>2</sub>로 轉換되기 때문에 流入速度가 減少하여 一定水準以上으로 接触時間이 늘어나게 되면 오히려 benzaldehyde의 收率이 減少하는 것으로 생각된다.

### 3 - 3 - 2. 反應物 流入速度가 轉換率에 미치는 影響

앞의 3 - 3 - 1과 같은 実驗條件下에서 나타난 轉換率은 Fig. 10과 같다. 여기서도 大部分의 触媒

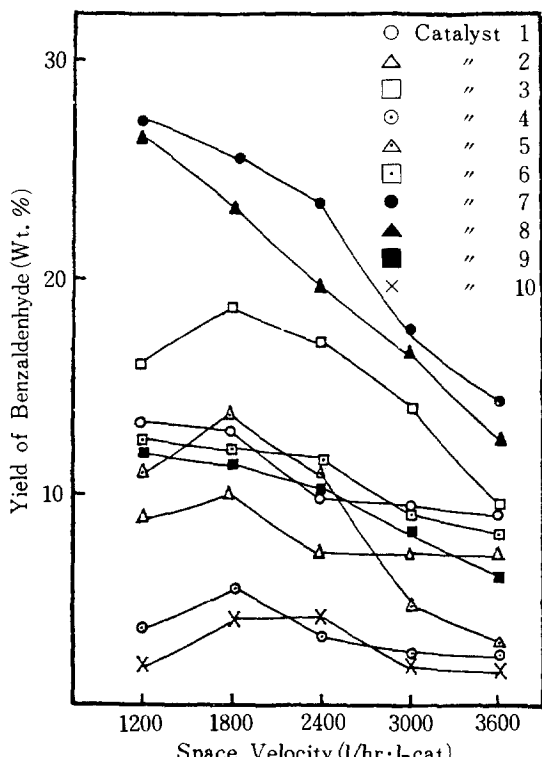


Fig. 9. Effect of space velocity on the yield of benzaldehyde at the various catalysts [temperature: 380°C, air/toluene ratio: 48].

가流入速度가減少하여接触時間이 길어짐에 따라部分 및完全酸化反應 모두가 많이進行되므로流入速度의減少에 따라轉換率이增加하는傾向을 보이는 것으로 생각된다.

### 3 - 3 - 3. 反應物 流入速度가 benzaldehyde의 選擇度에 미치는 影響

benzaldehyde의 選擇度에 대한結果는 Fig. 11과 같다. 이러한現象과 앞에서 나타난 여러가지結果를綜合하여 본다면 다음과 같은 것을 알 수 있다. 즉本實驗에서比較的酸化가 많이 일어날條件高温, 높은空氣/toluene의 몰比率에서는 benzoic acid나 CO<sub>2</sub>의生成이 많아지고比較的酸化가 적게 일어날條件低温, 낮은空氣/toluene의 몰比率에서는 benzaldehyde의生成이 많아진다는 것을 알 수 있다. 이러한結果와外國의文獻[3, 4]等에서 보면toluene의benzaldehyde로의酸化反應은直接酸化보다는一聯의hydroxylation過過을 거치며, 또한實驗結果에 대한正確한規則性을 찾기 힘든 것은

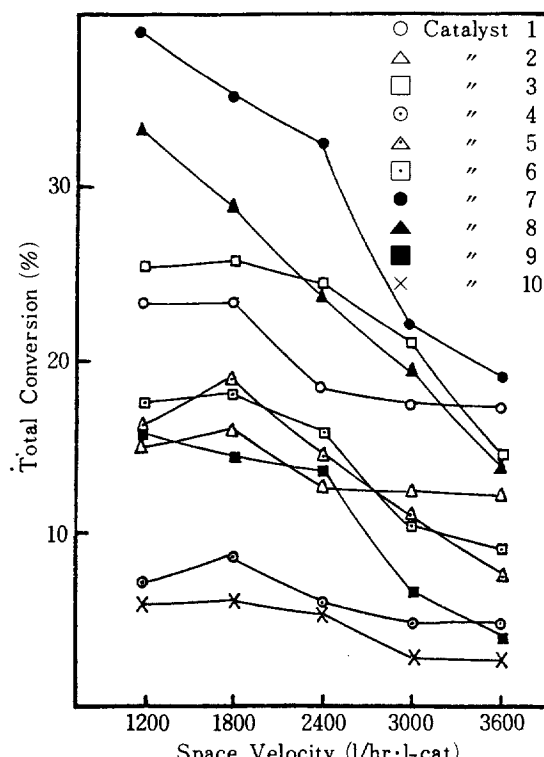


Fig. 10. Effect of space velocity on the total conversion at the various catalysts [temperature: 380°C, air/toluene ratio: 48].

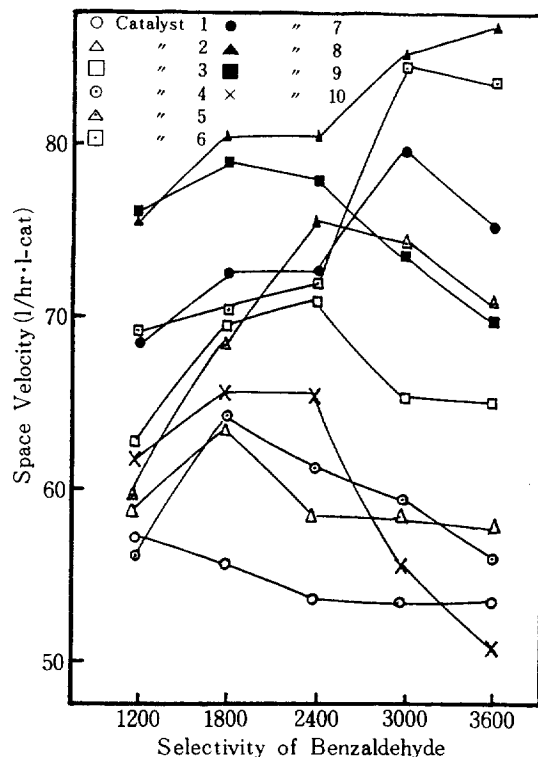


Fig. 11. Effect of space velocity on the selectivity of benzaldehyde at the various catalysts [temperature: 380°C, air/toluene ratio: 48].

CO<sub>2</sub>生成 mechanism의 parallel-consecutive mechanism을 거치기 때문에 생각된다[14].

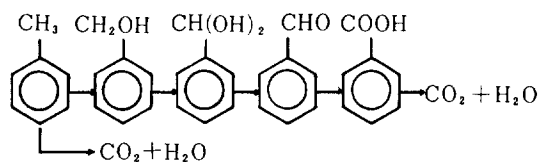


Fig. 11에서 보면 全體적으로 뚜렷한 傾向은 볼 수 없으나 比較的收率이 높게 나타난触媒들은流入速度가 줄어들어酸化反應이 많이進行됨에 따라benzaldehyde보다는反應이 한段階 더進行된benzoic acid나 CO<sub>2</sub>等의生成이相對적으로 더 커져서選擇度가減少하는倾向을 보이는 반면, 比較的收率이 낮게 나타난触媒들은流入速度가 줄어들어酸化反應이 많이進行됨에 따라一定水準에 이를 때까지는benzaldehyde生成의增加로選擇度가增加하

지만 그以上の範圍에 있어서는 지나친 酸化反應率, benzoic acid나 CO<sub>2</sub>의生成으로 인한 benzaldehyde의 相對的減少로選擇度가減少하게 된다.

以上의結果로부터 反應物流入速度는 지나치게接触時間이 걸어짐으로 인한 계속적인 酸化反應을抑制하여 benzaldehyde의收率을 높힐 수 있는 1800 l /hr · l - cat 정도가 가장適當한 것으로 생각된다.

#### 3-4. 各触媒上에서의 benzaldehyde의收率比較

空氣/toluene 몰比率 26, 反應溫度 380°C, 反應物流入速度 1800 l /hr · l - cat의 実驗條件에서各触媒上의 benzaldehyde收率을 서로比較해서 그順序를 보면 다음과 같다.

触媒 7 (28.2%) >触媒 (26.9%) >触媒 3 (20.3%) >触媒 1 (16.8%) >触媒 6 (16.2%) >触媒 (14.7%) >触媒 10 (13.5%) >触媒 9 (13.3%) >触媒 2 (9.7%) >触媒 4 (8.8%).

benzaldehyde로의 toluene의酸化反應에서活性이 낮은 것으로 알려진 CuO[13]等이 30mol%添加되면触媒의活性이 크게增加하는 것으로 보아 이実驗에서使用된混合金屬酸化物触媒中 V<sub>2</sub>O<sub>5</sub>가 main active component임을 알 수 있다. 助触媒에 의한活性의增加에 있어서 Bhattacharyya[14]等에 의하면,反應物과 V<sub>2</sub>O<sub>5</sub>가反應하여反應物을酸化시키면서 V<sup>+4</sup>로還元되고 이 때助触媒로使用的金屬은自身이還元되면서 V<sup>+4</sup>를다시V<sup>+5</sup>로酸化시켜酸化反應에寄與하게 된다고하였다. 그리고還元된助触媒의金屬은酸素와反應하여다시原來의狀態로되돌리고하였다. 또 Hedvall[15]에 의하면金屬酸化物의混合에의한結晶格子의構造變化 또는表面構造變化等으로인해触媒의活性이變한다고하였다. 이처럼助触媒의效果는電子的effect와構造的effect를 생각할 수 있으며, CuO, ZnO, MnO<sub>2</sub>等이添加될境遇 심한表面積減少와 더불어活性이增加하는 것으로 보아 이들酸化物은構造的effect뿐만 아니라電子的effect가되어난것임을 알 수 있고, CoO가添加되어表面積이크게늘어난것을보아, CoO는構造的effect가持히되어난것을알 수 있다. 이 두 가지效果를全体적으로 생각해 볼 때

V<sub>2</sub>O<sub>5</sub>, CuO, MnO<sub>2</sub>等이助触媒로서의役割이 뛰어나며나머지大部分의境遇에 있어서는表面積減少의影響으로活性이減少하는 것으로 생각된다.

#### 3-5. 여러混合触媒에 있어서助触媒成分에 따른反應經路의變化

反應溫度 420°C, 空氣/toluene 몰比率 26, 反應溫度 2400 l /hr · l - cat에서酸化反應을進行시킨 다음生成物中大部分을 차지하는 benzaldehyde와 CO<sub>2</sub>의選擇度를 서로比較한結果는 Fig. 12와 같다. 이 때反應物流入速度는 3-3-1에서와 같은理由로 2400 l /hr · l - cat를擇하였고, 反應溫度에서는 380°C가完全酸化反應을 일으키기에充分한條件이 되지 못하므로完全酸化反應이 일어날 수 있는溫度中에서比較의낮은溫度 420°C를擇하였다. 이러한反應條件의選擇으로Fig. 12에나타난完全酸化反應으로의傾向의뚜렷한差異는,反應條件의影響보다는各触媒의特性에의한影響이더크게作用한 것이다. Fig. 12에서 보면benzaldehyde와 CO<sub>2</sub>가生成物中에서큰비중을차지하므로graph上의對角線近處에위치하게된다. 여기서 V<sub>2</sub>O<sub>5</sub>(触媒1)을基準으로하여볼때触媒7, 8等이比較的benzaldehyde의選擇度가높은반면,触媒9, 10等이CO<sub>2</sub>의選擇度가높은것으로나타났다. 이는V<sub>2</sub>O<sub>5</sub>

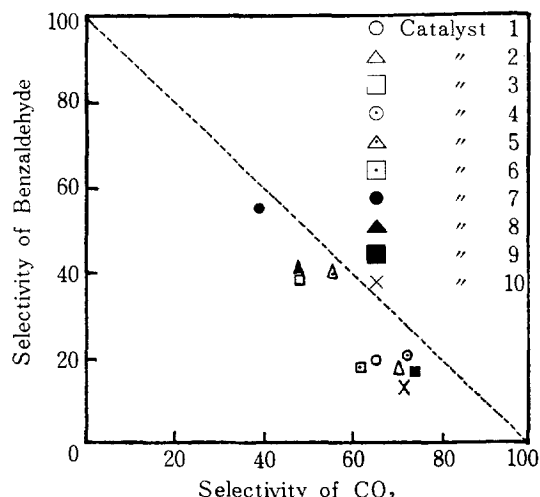


Fig. 12. Comparison of selectivities of products  
[temperature: 420°C, air/toluene ratio : 26,  
space velocity: 2400 (l/hr · l-cat)]

에 대한 助触媒로 I-B, II-B 族 転移金属의 酸化物, CuO, ZnO가 添加되는 境遇, toluene의 部分酸化 즉, methyl基를 酸化시키는 傾向이 增加하는 반면, VI-B 族 転移金属의 酸化物 Cr<sub>2</sub>O<sub>3</sub>, MoO<sub>3</sub>, WO<sub>3</sub>等이 助触媒로 添加되면 toluene의 完全酸化 즉, 벤젠고리를 酸化시키는 傾向이 增加하는 것을 뜻한다. VI-B 族 転移金属 酸化物中에서 MoO<sub>3</sub>, WO<sub>3</sub>는 benzaldehyde 生成에 有利한 触媒로, 반면에 Cr<sub>2</sub>O<sub>3</sub>는 比較的 完全酸化의 傾向이 큰 것으로 알려져 있고[4] 또 金属 그 自体의 性質에 있어서도 Cr은 電荷數가 낮은 이온을 形成한다는 것과 반자름이 훨씬 작은 이온을 形成하고 있다는 点等, 많은 観點에서 Mo, W와 差異가 있는 것으로 알려져 있으나[16], 3가지 모두 CO<sub>2</sub>로의 選擇度를 增加시키는 것으로 보아 이들은 單純 混合效果가 아닌 助媒触로의 役割을 함을 알 수 있다. Parks와 Katz[3]에 의하면 toluene의 酸化反應은 發熱反應이므로 granular aluminum과 같은 热伝導性이 높은 support를 使用하면 触媒表面의 热點(hot spot)의 生成을 減少시켜 完全酸化反應을 抑制할 수 있다고 하였다. 이와같이 V<sub>2</sub>O<sub>5</sub>에도 CuO等이 添加되면 触媒의 热伝導性을 增加시키는 반면, MoO<sub>3</sub>, WO<sub>3</sub>等의 添加는 热伝導性을 減少시킨다는 것을 알 수 있고, 이러한 것과 実驗結果를 比較해 볼 때 热伝導性의 變化도 反應経路 變化에 影響을 미친다는 것을 알 수 있다.

#### 4. 結論

(1) 最適 反應條件은 反應溫度 380°C, 空氣/toluene 比率 26, 그리고 反應物 流入速度 1800ℓ /hr·ℓ-cat로 나타났다.

(2) 混合 金属酸化物 触媒에 있어서 CuO, ZnO, MnO<sub>2</sub>等이 助触媒로서의 役割이 뛰어난 것으로 나타났고, Fe<sub>2</sub>O<sub>3</sub>, CoO, NiO, Cr<sub>2</sub>O<sub>3</sub>, MoO<sub>3</sub>, WO<sub>3</sub>는 오히려 活性을 低下시키는 것으로 나타났다.

(3) I-B, II-B 族 転移金属 酸化物인 CuO, ZnO等이 V<sub>2</sub>O<sub>5</sub>에 助触媒로 添加되면 toluene의 酸化反應은 部分酸化로 進行되는 傾向이 커지며, VI-B 族 転移金属 酸化物 Cr<sub>2</sub>O<sub>3</sub>, MoO<sub>3</sub>, WO<sub>3</sub>等이 助触媒로 添加되면 酸化反應은 完全酸化로 進行되는 傾向이 커졌다.

#### 5. 參考 文獻

- Kirk-Othmer; Encyclopedic of Chemical Technology, 2nd ed., Vol. 3, John Wiley & Sons, Inc., New York, 362 (1967).
- Huitema, R. and Brown, O. W.; J. Phys. Chem., 40, 531 (1936).
- Parks, W. G. and Katz, J.; Ind. Eng. Chem., 28, 319 (1936).
- Parks, W. G. and Yula, R. W.; Ind. Eng. Chem., 33, 891 (1941).
- Reddy, K. A. and Doraiswamy, L. K.; Chem. Eng. Sci., 24, 1415 (1969).
- Parapatos, K. and Shelstad, K. A.; J. Catal., 28, 116 (1973).
- Van der Wiele, K. and Van den Berg, P. J.; J. Catal., 39, 437 (1975).
- Bell, C. H.; US Patent 3,631,204 (1971).
- Cyba, H. A.; US Patent 3,714,263 (1973).
- Kwiatek, J., Murib, J. H. and Brush, C. K.; US Patent 3,946,067 (1976).
- Mamoru, Ai.; Kogyo Kagaku Zasshi, 73, 946 (1970).
- Mamoru, Ai.; Ibid, 74, 1636 (1971).
- Bhattacharyya, S. K. and Sharma, V. K.; Indian J. Tech., 14, 488 (1976).
- Sharma, V. K. and Bhattacharyya, S. K.; Ibid, 14, 492 (1976).
- Hedvall, J. A.; Chem. Rev., 15, 139 (1934).
- R. B. Heslop, and Robinson, P. L.; Inorganic Chemistry, 3rd ed., Elsvier Pub. Co., Japan, 657 (1967).

#### 感 謝

本 研究를 遂行하는데에 研究費를 支援하여 준 韓國科学財團에 感謝를 드리며, 本 研究의 初期부터 끝까지 物心兩面으로 도와주시고 激勵해 주신 서울大学校 工科大学 化学工学科 李華榮 教授님께 깊은 고마움을 전합니다.